

**МАТЕМАТИЧЕСКАЯ МОДЕЛЬ ДЕФОРМИРОВАНИЯ  
ТРАНСВЕРСАЛЬНО-ИЗОТРОПНЫХ КЕРАМИЧЕСКИХ  
КОМПОЗИЦИОННЫХ МАТЕРИАЛОВ С ТЕХНОЛОГИЧЕСКИМИ  
ДЕФЕКТАМИ В ВИДЕ ПОР**

Т.Д. КАРИМБАЕВ\*, *д-р техн. наук, проф.*,

Б. МЫКТЫБЕКОВ\*, *канд. техн. наук,*

М.Ж. ЖУМАБАЕВ\*\*, *д-р физ.-мат. наук*

\* ФГУП «ЦИАМ» им. П.И. Баранова, Москва, Россия;

\*\* Южно-Казахстанский государственный педагогический институт  
(Казахстан)

Москва., Черноморский бульвар 7, кор.1. кв.13. E-mail: [karimbaevt@ciam.ru](mailto:karimbaevt@ciam.ru)

Московская обл., г. Люберцы, Октябрьский просп. 123, кор.3. кв.57.

E-mail: [bahit@ciam.ru](mailto:bahit@ciam.ru)

Жамбылская область, г. Тараз, ул. Майкот акын, 18, [jumabaev\\_m.j@mail.ru](mailto:jumabaev_m.j@mail.ru)

*В настоящей работе модель деформирования нелинейно-деформируемых трансверсально-изотропных керамических композиционных материалов с хрупкой матрицей построена в предположении существования в материале матрицы начальной пористости, которая может развиваться при дальнейшем нагружении керамического материала. Начальная пористость обусловлена не выявляемыми существующими методами неразрушающего контроля технологическими дефектами.*

**КЛЮЧЕВЫЕ СЛОВА:** керамика, напряжение, слой, композиционный материал, пористость, растяжение, сдвиг, волокна.

Одной из основных задач при создании композиционных материалов на керамической матрице с непрерывными керамическими волокнами, решение которой обеспечивает работоспособность деталей из них, является повышение вязкости разрушения хрупкого керамического материала с низким уровнем предельных деформаций. Несмотря на то, что исследованиями керамических композиционных материалов конструкционного назначения интенсивно занимаются последние 40–45 лет, основная их масса посвящена изучению и обсуждению, безусловно, важных, но отдельных частных проблем и достижений. В опубликованных материалах имеются отдельные предложения по аналитическому описанию их поведения в этих условиях. Так, в работе [1] приведена качественная картина деформирования композиционных материалов с хрупкой матрицей при монотонном нагружении (рис.1).

При малых нагрузках и напряжениях (этап I) деформирования керамических композиционных материалов наблюдается совместная деформация упругих материалов волокна и матрицы. Второй этап (этап II) деформирования композиционных материалов продолжается до полного насыщения материала матрицы порами (повреждениями). Если осуществить разгрузку с некоторого уровня напряжения, действующего на втором этапе деформирования, то экспериментально установлено появление остаточных деформаций в композиционном материале, остаточных деформаций и напряжений в его компонентах, а при повторном нагружении после разгрузки можно наблюдать гистерезисную петлю. Заключительная фаза второго этапа деформирования характеризуется тем, что материал матрицы «насыщается» порами и на волокнах остаются отдельные частички материала матрицы. При этом типичная длина этих частиц экспериментально не определена. Можно только предполагать, что их длина превышает критическую длину волокна. В этом случае III этап деформирования композиционных материалов характеризуется [1] скольжением волокна по поврежденной границе раздела волокна и матрицы, а также его вытягиванием из оставшейся массы материала матрицы. Разработанная и используемая в некоторых работах модель «запаздывания сдвига» (lag-shear) является инте-

гальной характеристикой сдвиговых эффектов и требует проведения специальных исследований. Наконец, IV этап деформирования характеризуется разрушением материала волокна (см. рис. 1) с учетом естественного разброса его прочности. Закономерности разгрузки на участках III и IV этапов деформирования экспериментально не исследовались и в общедоступной литературе не описаны.

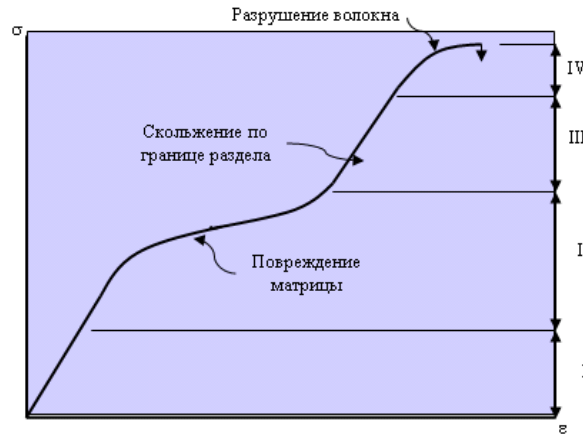


Рис. 1. Качественная картина деформирования композиционных материалов с хрупкой матрицей при монотонном нагружении

В настоящей работе модель деформирования нелинейно-деформируемых трансверсально-изотропных керамических композиционных материалов с хрупкой матрицей построена в предположении существования в материале матрицы начальной пористости, которая может развиваться при дальнейшем нагружении керамического материала. Начальная пористость обусловлена не выявляемыми существующими методами неразрушающего контроля технологическими дефектами.

Рассматриваются однонаправлено-армированные композиционные материалы на хрупкой матрице. Предполагается, что, несмотря на возможности нелинейного деформирования материала матрицы из-за развития его поврежденности, рассматриваемые поля напряжений и деформаций таковы, что они связаны между собой обобщенными зависимостями трансверсально-изотропной среды в виде:

$$\begin{aligned} \varepsilon_{11} &= (\sigma_{11} - \nu_{12}\sigma_{22} - \nu_{13}\sigma_{33})/E_1 + \alpha_1\Delta T, & \varepsilon_{12} &= \sigma_{12}/G_{12}, \\ \varepsilon_{22} &= (\sigma_{22} - \nu_{21}\sigma_{11} - \nu_{23}\sigma_{33})/E_2 + \alpha_2\Delta T, & \varepsilon_{13} &= \sigma_{13}/G_{13}, \\ \varepsilon_{33} &= (\sigma_{33} - \nu_{31}\sigma_{11} - \nu_{32}\sigma_{22})/E_3 + \alpha_3\Delta T, & \varepsilon_{23} &= \sigma_{23}/G_{23}. \end{aligned} \quad (1)$$

По форме они не отличаются от линейно-деформируемых трансверсально-изотропных сред. Однако в отличие от них реальные значения модулей упругости композиционных материалов вдоль  $E_1$  и поперек  $E_2$  направления армирования, модуля сдвига  $G_{12}$  в плоскости армирования, коэффициентов Пуассона  $\nu_{21}$ ,  $\nu_{23}$ , характеризующих сжатие в направлении первого индекса при растяжении в направлении второго индекса, являются функциями поврежденности материала матрицы и межфазового пространства. Характеристики трансверсально-изотропного тела (1) в этом случае являются переменными параметрами «упругости». Далее получены их выражения для различных случаев напряженно-деформированного состояния.

#### **Растяжение в направлении армирования**

Если в физические соотношения для композиционных материалов и их компонентов, с учетом квазиоднородности материала матрицы с микроповреждениями и инородными включениями, которая характеризуется пористостью  $p$ , подставить параметры изотермического напряженно-деформированного состояния рассматриваемого образца, то получим совокупность равенств:

– компоненты напряжений в композиционном материале и шаровые и девиаторные их составляющие

$$\sigma = (\sigma_{11} - \sigma_{11}^0)/3, \quad s_{11} = 2(\sigma_{11} - \sigma_{11}^0)/3, \quad s_{22} = s_{33} = -(\sigma_{11} - \sigma_{11}^0)/3, \\ s_{ij} = 0 \quad \text{при} \quad i \neq j, \quad \sigma_1 = (\sigma_{11} - \sigma_{11}^0); \quad (2)$$

– компоненты напряжений в компонентах композиционного материала и шаровые и девиаторные их составляющие:

$$\sigma^\alpha = (\sigma_{11}^\alpha - \sigma_{11}^{\alpha 0})/3, \quad s_{11}^\alpha = 2(\sigma_{11}^\alpha - \sigma_{11}^{\alpha 0})/3, \quad s_{22}^\alpha = s_{33}^\alpha = -(\sigma_{11}^\alpha - \sigma_{11}^{\alpha 0})/3, \\ s_{ij}^\alpha = 0 \quad \text{при} \quad i \neq j, \quad \sigma_1^\alpha = (\sigma_{11}^\alpha - \sigma_{11}^{\alpha 0}); \quad (3)$$

– компоненты деформаций в композиционном материале и шаровые и девиаторные их составляющие:

$$\varepsilon_{11} - \varepsilon_{11}^0 = (\sigma_{11} - \sigma_{11}^0)/E_1, \quad \varepsilon_{22} - \varepsilon_{22}^0 = \varepsilon_{33} - \varepsilon_{33}^0 = -\nu_{12}(\varepsilon_{11} - \varepsilon_{11}^0), \\ \mathcal{E}_{ij} = 0 \quad \text{при} \quad i \neq j, \quad \varepsilon = (1 - 2\nu_{12})(\varepsilon_{11} - \varepsilon_{11}^0)/3, \quad \varepsilon_1 = \varepsilon_{11} - \varepsilon_{11}^0, \\ \mathcal{E}_{11} = 2(1 + \nu_{12})\varepsilon_{11}/3, \quad \mathcal{E}_{22} = \mathcal{E}_{33} = -(1 + \nu_{12})\varepsilon_{11}/3, \quad (4) \\ \mathcal{E}_{ij} = 0 \quad \text{при} \quad i \neq j;$$

- компоненты деформаций в компонентах композиционного материала и шаровые и девиаторные их составляющие:

$$\varepsilon_{11}^\alpha - \varepsilon_{11}^{\alpha 0} = (\sigma_{11}^\alpha - \sigma_{11}^{\alpha 0})/E_1^\alpha, \quad \varepsilon_{22}^\alpha - \varepsilon_{22}^{\alpha 0} = \varepsilon_{33}^\alpha - \varepsilon_{33}^{\alpha 0} = -\nu_{12}^\alpha(\varepsilon_{11}^\alpha - \varepsilon_{11}^{\alpha 0}), \\ \varepsilon_{ij}^\alpha = 0 \quad \text{при} \quad i \neq j, \quad \varepsilon^\alpha = (1 - 2\nu_{12}^\alpha)(\varepsilon_{11}^\alpha - \varepsilon_{11}^{\alpha 0})/3, \\ \mathcal{E}_{11}^\alpha = 2(1 + \nu_{12}^\alpha)(\varepsilon_{11}^\alpha - \varepsilon_{11}^{\alpha 0})/3, \quad \mathcal{E}_{22}^\alpha = \mathcal{E}_{33}^\alpha = -(1 + \nu_{12}^\alpha)(\varepsilon_{11}^\alpha - \varepsilon_{11}^{\alpha 0})/3, \quad (5) \\ \mathcal{E}_{ij}^\alpha = 0 \quad \text{при} \quad i \neq j$$

При этом, приведенные параметры  $E^{*2}$  и  $\nu^{*2}$  материала матрицы, будут вычислены для текущего значения пористости  $p$ , т.е. из равенств

$$E_1^2 = E^{*2}(p), \quad \nu_{12}^2 = \nu^{*2}(p). \quad (6)$$

Текущая пористость материала определяется из соотношения [2]:

$$p = p_0 + (1 - p_0)[1 - \exp\{- (V/V_0)(\langle \sigma_1 \rangle - \sigma_0) / \sigma_u \}^\chi]^{1/\theta},$$

где  $\langle \sigma_1 \rangle$  - осредненное главное напряжение материала матрицы,  $\sigma_0$  – пороговое значение прочности материала матрицы с начальной пористостью  $p_0$ ,  $\sigma_u$  – параметр масштаба и  $\chi$  – параметр (модуль Вейбулла) рассеяния,  $\theta$  – параметр, характеризующий степень влияния изменения пористости  $p$  на скорость роста повреждений. Кроме того, в выписанных соотношениях (2)-(5) учтено существование начальных технологических остаточных напряжений и равенств

$$E_1 = E^1, \quad \nu_{12}^1 = \nu^1, \quad E_1^3 = E^3, \quad \nu_{12}^3 = \nu^3.$$

Если соответствующие выражения из (2)-(5) с учетом (6) подставить в равенства (1)

$$\sigma_{11} - \sigma_{11}^0 = \nu^\alpha (\sigma_{11}^\alpha - \sigma_{11}^{\alpha 0}) = \nu^1 (\sigma_{11}^1 - \sigma_{11}^{10}) + \nu^2 (\sigma_{11}^2 - \sigma_{11}^{20}) + \nu^3 (\sigma_{11}^3 - \sigma_{11}^{30}), \\ \varepsilon_{22} - \varepsilon_{22}^0 = \nu^\alpha (\varepsilon_{22}^\alpha - \varepsilon_{22}^{\alpha 0}) = \nu^1 (\varepsilon_{22}^1 - \varepsilon_{22}^{10}) + \nu^2 (\varepsilon_{22}^2 - \varepsilon_{22}^{20}) + \nu^3 (\varepsilon_{22}^3 - \varepsilon_{22}^{30}), \quad (7) \\ \varepsilon_{33} - \varepsilon_{33}^0 = \nu^\alpha (\varepsilon_{33}^\alpha - \varepsilon_{33}^{\alpha 0}) = \nu^1 (\varepsilon_{33}^1 - \varepsilon_{33}^{10}) + \nu^2 (\varepsilon_{33}^2 - \varepsilon_{33}^{20}) + \nu^3 (\varepsilon_{33}^3 - \varepsilon_{33}^{30}),$$

то после несложных преобразований можно получить

$$E_1^* = \nu^\alpha E_1^\alpha = \nu^1 E_1^1 + \nu^2 E_1^2 + \nu^3 E_1^3, \\ \nu_{12}^* = \nu^\alpha \nu_{12}^\alpha = \nu^1 \nu_{12}^1 + \nu^2 \nu_{12}^2 + \nu^3 \nu_{12}^3. \quad (8)$$

Таким образом, два ( $E_1^*$ ,  $\nu_{12}^*$ ) из пяти параметров упругости трансверсально-изотропного тела (1) могут быть аналитически определены соотношениями (8). В качестве примера на рис. 2 представлены три расчетные кривые деформирования композиционного материала при различных значениях объемного содержания волокон  $\nu^1$  ( $\nu^1=0.2$ ,  $\nu^1=0.4$  и  $\nu^1=0.6$ ).

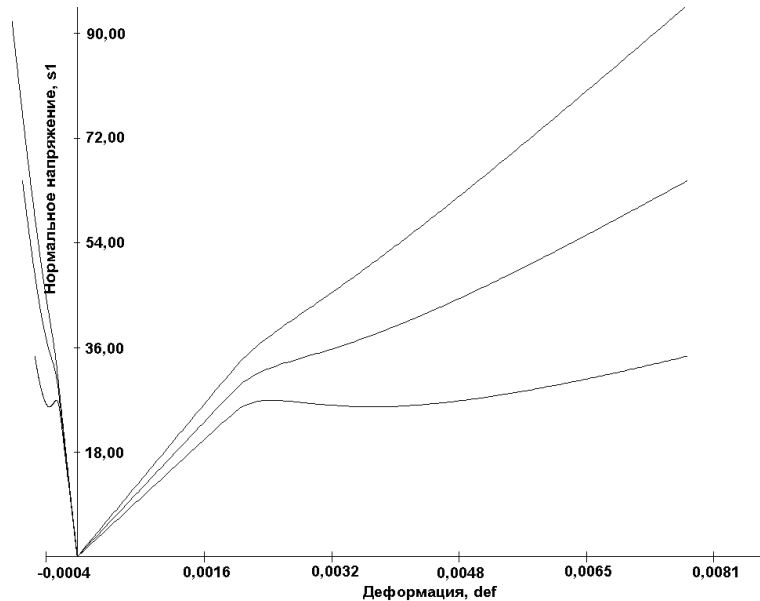


Рис. 2. Кривые нелинейного деформирования ( $\varepsilon_{11} \sim \sigma_{11}$ ,  $\varepsilon_{22} \sim \sigma_{11}$ ) композиционных материалов с хрупкой матрицей при растяжении в направлении армирования в зависимости от объемного содержания волокна  $\nu^1$ .

### Растяжение в плоскости изотропии

Пусть растягивающее напряжение приложено к длинному призматическому образцу в плоскости изотропии (для определенности в направлении оси  $x_2$ ). Для композиционных материалов с микронеоднородностью в хрупкой матрице, выполняется комплекс предположений

$$\begin{aligned} \sigma_{22}^\alpha - \sigma_{22}^{\alpha 0} = t_{22} = \sigma_{22} - \sigma_{22}^0, \quad \sigma_{11} - \sigma_{11}^0 = \nu^\alpha (\sigma_{11}^\alpha - \sigma_{11}^{\alpha 0}) = 0, \\ \varepsilon_{11}^\alpha - \varepsilon_{11}^{\alpha 0} = e_{11} = \varepsilon_{11} - \varepsilon_{11}^0, \quad \varepsilon_{33}^\alpha - \varepsilon_{33}^{\alpha 0} = -\nu_{23}^\alpha (\varepsilon_{22}^\alpha - \varepsilon_{22}^{\alpha 0}), \\ \varepsilon_{22} - \varepsilon_{22}^0 = e_{22} = \nu^\alpha (\varepsilon_{22}^{\alpha 1} - \varepsilon_{22}^{\alpha 0}), \quad \varepsilon_{33} - \varepsilon_{33}^0 = e_{33} = \nu^\alpha (\varepsilon_{33}^\alpha - \varepsilon_{33}^{\alpha 0}). \end{aligned} \quad (9)$$

Следует отметить, что локальные несовершенства в виде пор в материале матрицы и на границе раздела компонентов оказывают заметное влияние на распределение местных напряжений. Если в физические соотношения (1) для композиционных материалов и их компонентов подставить параметры изотермического напряженно-деформированного состояния растягиваемого в плоскости изотропии образца, определенные соотношениями (9), то легко получить совокупность равенств – компоненты напряжений и деформаций в компонентах композиционного материала:

$$\begin{aligned} \sigma_{11}^\alpha - \sigma_{11}^{\alpha 0} &= (\nu_{12}^\alpha - \nu_{12} E_1^\alpha / E_1) k^\alpha (\sigma_{22} - \sigma_{22}^0), \\ \varepsilon_{11}^\alpha - \varepsilon_{11}^{\alpha 0} &= \varepsilon_{11} - \varepsilon_{11}^0 = -\nu_{12}^\alpha (\sigma_{22} - \sigma_{22}^0) / E_1, \\ \varepsilon_{22}^\alpha - \varepsilon_{22}^{\alpha 0} &= [1 - \nu_{21}^\alpha (\nu_{12}^\alpha - \nu_{12} E_1^\alpha / E_1)] k^\alpha (\sigma_{22} - \sigma_{22}^0) / E_2^\alpha, \\ \varepsilon_{33}^\alpha - \varepsilon_{33}^{\alpha 0} &= -[\nu_{23}^\alpha + \nu_{21}^\alpha (\nu_{12}^\alpha - \nu_{12} E_1^\alpha / E_1)] k^\alpha (\sigma_{22} - \sigma_{22}^0) / E_2^\alpha \end{aligned} \quad (10)$$

– компоненты напряжений в композиционном материале, шаровые и девиаторные их составляющие:

$$\begin{aligned} \sigma_1 &= \sigma_{22} - \sigma_{22}^0, & \sigma_1^\alpha &= \sigma_{22}^\alpha - \sigma_{22}^{\alpha 0}, \\ \varepsilon_1 &= \varepsilon_{22} - \varepsilon_{22}^0, & \varepsilon_1^\alpha &= \varepsilon_{22}^\alpha - \varepsilon_{22}^{\alpha 0}, & \sigma &= (\sigma_{22} - \sigma_{22}^0) / 3, \\ s_{11} &= s_{33} = -(\sigma_{22} - \sigma_{22}^0) / 3, & s_{22} &= 2(\sigma_{22} - \sigma_{22}^0) / 3, & s_{ij} &= 0 \text{ при } i \neq j; \end{aligned} \quad (11)$$

– компоненты деформаций в композиционном материале, шаровые и девиаторные их составляющие:

$$\begin{aligned} \sigma_1 &= \sigma_{22} - \sigma_{22}^0, & \sigma_1^\alpha &= \sigma_{22}^\alpha - \sigma_{22}^{\alpha 0}, \\ \varepsilon &= (\varepsilon_{11} - \varepsilon_{11}^0 + \varepsilon_{22} + \varepsilon_{22}^0) / 3, & \mathcal{E}_{11} &= [2(\varepsilon_{11} - \varepsilon_{11}^0) - (\varepsilon_{22} - \varepsilon_{22}^0)] / 3, \\ \mathcal{E}_{22} &= [-(\varepsilon_{11} - \varepsilon_{11}^0) + 2(\varepsilon_{22} - \varepsilon_{22}^0)] / 3, \\ \mathcal{E}_{33} &= [-(\varepsilon_{11} - \varepsilon_{11}^0 + \varepsilon_{22} - \varepsilon_{22}^0)] / 3, & \mathcal{E}_{ij} &= 0 \text{ при } i \neq j; \end{aligned} \quad (12)$$

- шаровые и девиаторные составляющие напряжений и деформаций в компонентах композиционного материала:

$$\begin{aligned} \sigma^\alpha &= (\sigma_{11}^\alpha - \sigma_{11}^{\alpha 0} + \sigma_{22}^\alpha - \sigma_{22}^{\alpha 0}) / 3, & s_{11}^\alpha &= (\sigma_{11}^\alpha - \sigma_{11}^{\alpha 0} - \sigma^\alpha), \\ s_{22}^\alpha &= (\sigma_{22}^\alpha - \sigma_{22}^{\alpha 0} - \sigma^\alpha), & s_{33}^\alpha &= -\sigma^\alpha, \\ \varepsilon^\alpha &= (\varepsilon_{11}^\alpha - \varepsilon_{11}^{\alpha 0} + \varepsilon_{22}^\alpha + \varepsilon_{22}^{\alpha 0} + \varepsilon_{33}^\alpha + \varepsilon_{33}^{\alpha 0}) / 3, & \mathcal{E}_{11}^\alpha &= \varepsilon_{11}^\alpha - \varepsilon_{11}^{\alpha 0} - \varepsilon^\alpha, \\ \mathcal{E}_{22}^\alpha &= \varepsilon_{22}^\alpha - \varepsilon_{22}^{\alpha 0} - \varepsilon^\alpha, & \mathcal{E}_{33}^\alpha &= \varepsilon^\alpha, & \mathcal{E}_{ij}^\alpha &= 0 \text{ при } i \neq j. \end{aligned} \quad (13)$$

Здесь  $\sigma_1, \varepsilon_1, \varepsilon_1^\alpha, \sigma_1^\alpha$  – главные напряжения и деформации в композиционном материале и его компонентах. Соотношения (10)-(13), а также зависимости (9) и (1), после несложных преобразований приводят к равенствам:

$$\begin{aligned} 1 / E_2^* &= \nu^\alpha [1 - \nu_{21}^\alpha (\nu_{12}^\alpha - \nu_{12}^* E_1^\alpha / E_1^*)] / E_2^\alpha, \\ \nu_{23}^* &= \nu^\alpha [\nu_{23}^\alpha + \nu_{21}^\alpha (\nu_{12}^\alpha - \nu_{12}^* E_1^\alpha / E_1^*)] E_2 / E_2^\alpha. \end{aligned} \quad (14)$$

В (14) по одинаковым верхним индексам  $\alpha$  предполагается суммирование. Переменные параметры «упругости»  $\nu_{12}^*, E_1^*$  определяются из равенств (8). По полученным данным (8) и (14) построены зависимости главных напряжений  $\sigma_{22}$  от главных деформаций  $\varepsilon_{22}$  и  $\sigma_{22}$  от  $\varepsilon_{33}$  для различных уровней объёмного содержания волокон  $\nu^1$  ( $\nu^1=0.2, \nu^1=0.4$  и  $\nu^1=0.6$ ).

$$\sigma_{22} = E^{*2}(p) \varepsilon_{22}, \quad \varepsilon_{33} = -(\nu^{*2}(p) / E^{*2}(p)) \sigma_{22}. \quad (15)$$

Результаты вычислений приведены на рис. 3. Обращает внимание то, что при начальном неизменном уровне пористости  $p_0$  модуль упругости хрупкой матрицы  $E^{*2}$  оказывает определяющее влияние на поведение композиционного материала при его растяжении в плоскости изотропии (сравнение рис. 2 и 3). Объёмное содержание волокна  $\nu^1$  начинает сказываться только при больших уровнях деформаций.

#### **Сдвиговые деформации в плоскости армирования**

Пусть напряжение сдвига  $\tau$  приложено к призматическому образцу, однонаправлено-армированному в плоскости армирования  $x_1x_2$ . В этом случае можно допустить, что предположения

$$\begin{aligned} \sigma_{12} - \sigma_{12}^0 &= \sigma_{12}^\alpha - \sigma_{12}^{\alpha 0}, \\ \varepsilon_{12} - \varepsilon_{12}^0 &= \nu^\alpha (\varepsilon_{12}^\alpha + \varepsilon_{12}^{\alpha 0}) \end{aligned} \quad (16)$$

имеют место и для композиционных материалов с хрупкой неоднородной матрицей–матрицей, содержащей поры.

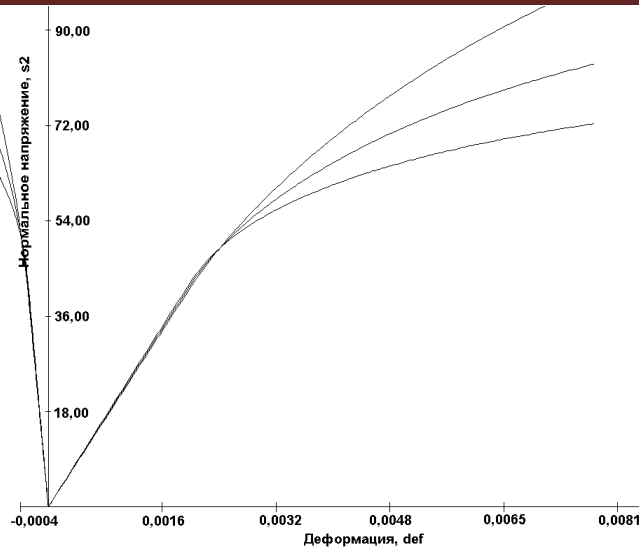


Рис. 3. Кривые нелинейного деформирования ( $\varepsilon_{22} \sim \sigma_{22}$ ,  $\varepsilon_{33} \sim \sigma_{22}$ ) композиционных материалов с хрупкой матрицей при растяжении в плоскости изотропии в зависимости от объемного содержания волокна  $v^1$ .

Из соотношений (16), (1) для композиционных материалов можно получить: – компоненты напряжений в компонентах композиционного материала и шаровые и девиаторные их составляющие:

$$\begin{aligned}
 \sigma^\alpha &= 0, \\
 s_{ij}^\alpha &= 0, \quad s_{12}^\alpha = \tau, \quad (\sigma_{22}^\alpha - \sigma_{22}^{\alpha 0} - \sigma^\alpha), \quad s_{13}^\alpha = s_{23}^\alpha = 0, \\
 s_i^\alpha &= \tau, \quad \sigma_1^\alpha = \tau, \\
 \varepsilon_{12}^\alpha - \varepsilon_{12}^{\alpha 0} &= \tau / G_{12}^\alpha, \quad \varepsilon_1^\alpha = \sigma_1^\alpha / G_{12}^\alpha, \quad \varepsilon^\alpha = 0, \\
 \varepsilon_{12}^\alpha &= \tau / G_{12}^\alpha, \quad \varepsilon_{13}^\alpha = \varepsilon_{23}^\alpha = 0, \quad \varepsilon_1^\alpha = \sigma_1^\alpha / G_{12}^\alpha, \quad \varepsilon_{ij}^\alpha = 0 \text{ при } i \neq j;
 \end{aligned}
 \tag{17}$$

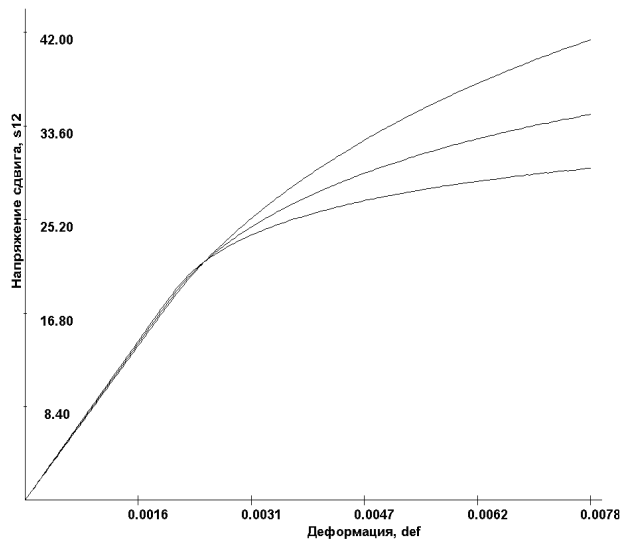


Рис. 4. Нелинейная зависимость сдвиговых напряжений  $\sigma_{12}$  от сдвиговых деформаций  $\varepsilon_{12}$  при различных значениях объемного содержания волокна  $v^1$

– компоненты напряжений в композиционном материале и шаровые и девиаторные их составляющие:

$$\begin{aligned} \sigma_{12} - \sigma_{12}^0 &= \tau, \quad \sigma = 0, \quad s_{ij} = 0, \quad s_{12} = \tau, \quad s_{13} = s_{23} = 0, \quad s_i = \tau, \\ \sigma_1 &= \tau, \quad \varepsilon = 0, \quad \varepsilon_{ij} = 0, \quad \varepsilon_{13} = \varepsilon_{23} = 0, \quad \varepsilon_1 = \tau / G_{12}, \quad \varepsilon_2 = \sigma / G_{12}. \end{aligned} \quad (18)$$

На основе соотношений (17,18), (18,19) и предположений (16,17) можно получить равенство:

$$\frac{1}{G_{12}^*} = \frac{v^\alpha}{G_{12}}, \quad (19)$$

в котором под  $G_{12}^2$  следует понимать переменное его значение  $G^{*2}_{12}(p)$ , зависящее от уровня достигнутой величины главной деформации.

На рис. 4 представлены кривые  $\sigma_{12} = G_{12} \varepsilon_{12}$  при различных значениях объемного содержания волокна  $v^1$  ( $v^1=0.2$ ,  $v^1=0.4$  и  $v^1=0.6$ ). Для сдвиговых деформаций можно сделать те же заключения, что и для поперечных деформаций.

Относительно простыми соотношениями (8), (14) и (19) полностью определяются пять независимых переменных параметров «упругости» трансверсально-изотропного композиционного материала с матрицей, которая может иметь начальную и развивающуюся поврежденность в виде сферических пор.

Таким образом, разработана модель нелинейного деформирования и разрушения однонаправлено-армированных керамических композиционных материалов, учитывающая начальное распределение пор в хрупкой матрице с ее дальнейшим вероятностным развитием по мере нагружения.

#### Л и т е р а т у р а

1. *Sorensen B.F., Holmes W.* Fatigue of continuous fiber reinforced ceramic matrix composites: review of mechanism and models. *Fatigue under thermal and mechanical loading: mechanism, mechanics and modelling: Proceeding of the Symposium held at Petten, the Netherland, 22–24 May 1995*, p. 487–499.

2. *Karimbaev T.D., Myktybekov B., Panova I.M.* Математические модели нелинейного деформирования однонаправлено-армированных композиционных материалов // Труды ЦИАМ, №1334, изд. ЦИАМ, 2006. - 160 стр.

#### R e f e r e n c e s

1. *Sorensen, BF, Holmes, W* (1995). Fatigue of continuous fiber reinforced ceramic matrix composites: review of mechanism and models. *Fatigue under Thermal and Mechanical Loading: Mechanism, Mechanics, and Modelling: Proceeding of the Symposium held at Petten, the Netherland, 22–24 May 1995*, p. 487–499.

2. *Karimbayev, TD, Myktybekov, B, Panova IM* (2006). Matematicheskie modeli nelineinogo deformirovaniya odonapravleno-armirovannih kompozitsionnih materialov. *Trudy TZIAM*, №1334, izd. TZIAM, 160 p.

### MATHEMATICAL MODEL OF DEFORMING TRANSVERSAL ISOTROPIC CERAMIC COMPOSITE MATERIALS WITH TECHNOLOGICAL DEFECTS IN THE FORM OF PORES

T. Karymbaev \*, B. Myktybekov \*, M.Z. Zhumabaev \*

\* ФГУП «ЦИАМ» of P.I. Baranova (Moscow, Russia)

\*\* the South Kazakhstan State Pedagogical Institute (Kazakhstan)

In the present work, the deformation model nonlinear-deformed transversal isotropic ceramic composite materials with a fragile matrix is constructed in the existence assumption in a material of a matrix of initial porosity which can develop at further to load a ceramic material. Initial porosity is caused by not revealed existing methods of not destroying control technological defects.

KEYWORDS: ceramics, pressure, a layer, a composite material, porosity, a stretching, shift, fibres.